

Li-de



7964

X-404 A.

LiAl(C₂H₅)₄; LiAl(CH₃)₄; NaAl(CH₃)₄;
NaAl(C₂H₅)₄ (Di)

Mach K.

J. Organometallic Chem.,

1964, 2, N5, 410 - 416

10

ЕСТЬ Ф. К.

Рнж, 1965, 146237

1967
Li (M) Al H₄; M = Li, Na, K, Rb, Cs
(Li Al D₄)

X 4528

Агусе Т. Г., Табунинский В. В.
Захаркин Н. Н., Усова Е. А.
Н. Г., Д. Н. Ильин. Синтез
состав, 1964, 6, N6, 805-12

PX 1968 10

(cp)

$\text{LiAl}(\text{H}_2)\text{Cl}_4$, $\text{KAl}(\text{H}_2)\text{Cl}_4$) to 776°C

Bree R., Kovacs A., Cauxel J. X4419

Bull. Soc. Chim. France, 1868, n° 71, 2432-2435
(pp).

Étude par spectroscopie infrarouge
des amiodolaminates de lithium,
sodium et potassium

6

Brekaus, 1868, 55139 to 571

$\text{Li}_2(\text{M}_2)(\text{AlO}_2)$

1967

112534s Infrared spectra of lithium, sodium, and potassium amidoaluminates. Raymond Brec, Alexandre Novak, and Jean Rouxel (Fac. Sci., Nantes, France). *Bull. Soc. Chim. Fr.* 1967(7), 2432-5(Fr). Spectra were studied in the 4000- to 200- cm^{-1} region. Band assignments are proposed. The differences between the NH_2 groups in the Li and K compds. are discussed.
John W. Ward

γ_i

+ 2

C.A. 1967-14-24



1970

LiAlH_{4-n} 4-n
 (OCH₃)_n

17 Б218. Исследование инфракрасных спектров литийалкоксиаланатов. Hilal M. Abdel Kader. Infrarotsuntersuchungen an Lithiumalkoxyalananaten. «Chem. Ber.», 1970, 103, № 4, 1225—1233. (нем., рез. англ.)

Получены $\text{LiAlH}_{4-n}(\text{OX})_n$ (I), X=Me, Et, трет.-Bu; n=0—4 и исследованы их ИК-спектры. У I, n=0, в вазелиновом масле имеются полосы при 1642 и 1779 cm^{-1} вал. кол. AlH...Al, что подтверждается зависимостью их положения от т-ры, и Al—H соотв; аналогичные полосы наблюдаются и для I, n=3. В эфире полосы расположены при 1789 и 1739 cm^{-1} и отнесены к вал. кол. Al—H и O...Al—H соотв. У I, n=1 ярко выражена склонность к образованию мостиков Al—O...Al; тенденция к образованию таких связей, а также типа Al—H...Al у I, n=2 слабо выражена, вероятно, вследствие большей симметрии молекул по сравнению с I, n=1. Полосы в области 600—800 cm^{-1} отнесены к вал. кол. связи Al—H. М. Д.

X, 1970. 17

20.Б195. ${}^6\text{Li}$ — ${}^7\text{Li}$ изотопические сдвиги в инфракрасных спектрах неорганических литиевых соединений.
II. Ромбоэдрические соединения LiXO_2 . Tarte P.,

1970

Li-Al
= —
(LiAlO₂)

ИК-спектр

Praudhomme J. ${}^6\text{Li}$ — ${}^7\text{Li}$ isotopic shifts in the infrared spectrum of inorganic lithium compounds. II. Rhombohedral LiXO_2 compounds. «Spectrochim. acta», 1970, A26, № 4, 747—754 (англ.)

Исследованы ИК-спектры ряда соединений типа $\text{LiM}^{3+}\text{O}_2$ ($M=\text{Al, Ga, Co, Cr, Rh, Sc, In}$) с октаэдрическим расположением катионов Li и M^{3+} в области 1500—50 см^{-1} методом изотопич. замещения ${}^6\text{Li}$ — ${}^7\text{Li}$. Показано, что колебания M^{3+}O_6 в области 650—400 см^{-1} и LiO_6 в области 300—200 см^{-1} являются характеристич. Этот вывод, однако, касается только соединений с ромбо-

+1

Li-Co₂

X. 1970 · 20



эдрич. структурой, имеющих пространственную группу симметрии $R\bar{3}m$ ($M=Al, Ga, Co, Cr, Rh$), и не может быть распространен на все соединения типа $LiMO_2$. Отмечено, что валентная частота RhO в октаэдре RhO_6 несколько выше, чем соответствующая частота в CrO_6 .
Свобщ. — см. РЖХим, 1967, 21Б426. Е. Разумова

LiAlCl_4 1971.
Drossbach, P;
Hoff, H;

u. n.
kb. met.
paaren. "Z. Naturforsch", A,
1971, 2b, N9, 1397-406.

(cccs. C_2H_2 , II^-)

BP-I-6790 1971

LiAl(C₂H₅)₄

NaAlEt₄

156576b Vibrational spectra of tetraethylaluminate anions.
Wilkie, Charles A. (Dep. Chem., Marquette Univ., Milwaukee,
Wis.). *J. Organometal. Chem.* 1971, 32(2), 161-3 (Eng). The
vibrational spectra of LiAlEt₄ and NaAlEt₄ are reported. It is
concluded that the former has D_{2d} symmetry and that the latter
has T_d symmetry.

Copyread by me

C.A. 1971. 75-21

$\text{Li}_2\text{Zn}(\text{CH}_3)_4$, (?) 10
 $\text{Li}_2\text{Al}(\text{CH}_3)_4$, (?) Li-C 1971
X5419

Yamamoto Y., Wilkie Ch.A.;

Inorg. Chem. 1971, 10(6), 1129-33 (au)

Vibrational spectra of lithium
tetramethylaluminate and lithium
tetramethylzincate

to 7



Ed: CAN1175(4), 20214W

Alli

1973

7 Д130. Расчеты методом ССП МО ЛКАО с использованием гауссовых базисных функций. X. Результаты вычислений для Alli и замечания о выборе конфигураций при учете конфигурационного взаимодействия.

Kaufman Joyce J. LCAO-MO-SCF calculations using Gaussian basis functions. X. Alli—SCF results and implications for choosing configurations for configuration interaction calculations. «J. Chem. Phys.», 1973, 58, № 4, 1680—1688 (англ.)

Методом ССП МО ЛКАО в приближении Хартри—Фока — Рутана рассмотрена гипотетическая молекула Alli в нижнем $^1\Sigma^+$ -состоянии. Приведены вычисленные полные энергии молекулы для различных значений межъядерного расстояния, энергии МО и их заселенности, дипольный и квадрупольный моменты, а также главные вклады в сверхкорреляционную энергию Alli. Суммар-

φ. 1973. № 7

ный вклад в энергию корреляции связи Al—Li оценен равным —1,5 эв, что указывает на возможность существования молекул AlLi в сравнительно устойчивой форме. Атом Li в этой молекуле обеднен электронами по сравнению со свободным атомом. Отмечается возможность образования мостиковых связей или образования комплексов между индивидуальными молекулами AlLi. Обсуждается проблема отбора системы виртуальных орбит, которые дают основной вклад в энергию корреляции при проведении расчетов с учетом конфигурац. взаимодействия. Ч. IX см. РЖФиз, 1970,
9Д148.

Ю. Удачин

AlLi

м.и.

Х/1973 №14

14 Б21. Рассчеты методом ССП МО ЛКАО в базисе гауссовых функций. X. Результаты расчета молекулы AlLi и соображения о выборе конфигураций для расчета по методу конфигурационного взаимодействия. Kaufman Joyce J. LCNO-MO-SCF calculations using Gaussian basis functions. X. AlLi-SCF results and implications for choosing configurations for configuration interaction calculations. «J. Chem. 1973, 58, № 4, 1680—1688 (англ.)

Методом ССП МО ЛКАО проведен расчет на состояния симметрии $^1\Sigma^+$ молекулы AlLi в базисе симметризованных гауссовых функций Хузинаги: (4s, 3p) атома Al и (4s, 2p) для атома Li. Межъядерное расстояние Al—Li варьировали от 4,0 до 8,0 ат. ед. Найдено, что минимум полной энергии лежит при 5,658 ат. и на 0,01 ат. ед. выше энергии разделенных атомов. Деление d-АО на атоме Al (d_{z^2} , d_{yz} и d_{xz} с осью z параллельно Al—Li) меняет полную энергию лишь на $7 \cdot 10^{-4}$ эв. Оценка различных вкладов в полную корреляц. энергии и корреляц. вклада в энергию связи показывает, что последний равен примерно —1,52 эв; этого достаточно, чтобы Al—Li оказался стабильнее системы разделенных атомов. Приведены орбитальные энергии, а также пол-

ные атомные заселенности и заселенности перекрывания как функции от расстояния: Положит. заряд в соответствии с найденными значениями дипольного момента находится на атоме Li (при равновесном расстоянии 0,15 ат. ед.). Приведены значения парц. заселеностей для равновесного расстояния. Полная заселенность перекрывания (0,56) указывает на образование связывающего состояния, причем она определяется не только MO с язи (6σ), но также MO, описывающими неподеленную пару Al (5σ) и 2s-АО Li. Заселенности практически не меняются при введении d -АО. Предложен принцип отбора конфигураций для расчетов по методу конфигурац. взаимодействия, состоящий в том, что при построении возбужденных конфигураций используются виртуальные MO, к-рые имеют достаточно высокие атомные заселенности для тех же атомов, у к-рых велики атомные заселенности в соотв-щих занятых MO ССП. Сообщ. VIII см. РЖХим, 1971, 1Б27.

М. Е. Ерлыкина

ДП.
N,

ZrAlCl₄
4109

Rytter E., Oye H. A., Cyvin S. J., Cyvin B. N.,
Klaeborg P. 1973

M. n.

Одина

J. Inorg. Nucl. Chem., 1973,
35, 1185

γ

Hiarcey



II. n

~~#27~~ Littell

1974

2307

Forneris R., Tavares-Forneris

u.n.
Ocuna

J. Mol. Struct., 1974, 23, 241

4

Littell



u.n.

AlO_4^{5-} (vi) ~~1974~~ ¹⁹⁷⁴ X-8994

Al-O₄... Li⁺ (crys. noem.)

Консова В.И.,

Ж. НЕОРГАН. ЖИДКОСТИ, 1974,
19 (10), 2898-9.

Циано-красный адсорбцион-
ный селектив (Li₅-AlO₄)

C.A. 1975, 82 n 4.23988k. 10

Il-Li

Faufman Joyce J.

1974

From Govt Rep Announce.

(U.S) 1975, 75(3) 56.

(as B L12; III)

Kb. Mex.
paerum.

X LiAlSi₂O₆

o. str.
X 1795

1244

Li-Chi-Tang, Shlichta P.G.

Z. Kristallogr., 1934, 190, v 1/2, 100-113
(авт., пер. рук.).

Образцы изучены МОМ и описаны
кристаллическими LiAlSi₂O₆-III в зернистых твердых
расстояниях на основе боратов-титано-
типуско-хлорид.

px, 115543 (2225).

5, 40

40912.3900
Ch, Ph, TC

LiF - Li₃AlF₆
*raman -спектр .**

1974

4-6159

Ratkje Signe Kjelstrup, ■ Rytter Erling.

Raman spectra of molten mixtures containing aluminum fluoride. I. The LiF-Li₃AlF₆ eutectic mixture.

"J. Phys. Chem.", 1974, 78, N 15, 1499-1502

(англ.)

0183

155. 159

□ ? 0

ВИНИТИ

Al Li

Guggi D. J.

1975

(D₀)

"4ème Conf. int. thermodyn.

chim., Montpellier, 1975.

Vol. 3 " S. 1, s.a. 124-131 (avril)

(au Al Li; I)



60319.8810
TC,Ch,Ph

У.к. 250/1р
1976
 $\text{LiAlH}_4 \cdot n(\text{OCH}_3)_n + \text{C} - 11817$

Fusek J., Hanousek F., Haruda F.
Study of the structure of lithium and so-
dium hydridoalkoxoaluminates by infrared
spectroscopy.
"Collect.Czech.Chem.Communis", 1976, 41, N1,
187-192 (англ.)

0575 РУБ

558 560

567

ВИНИТИ

Li Al Cl₄
4077

1977
Rubens A., Barbier P., Mairette G.,
Wallart F., Wignacourt J. P.

M. N.
Decker

Canadian J. of Spectroscopy,
1977, 22, p. 39

5

hiller

21. 11.

BF_3 , AlF_3 , BO_2 , ReO_4 } BX - 1200 1977
 $\text{Li}_2\text{F}\cdot \text{AlF}_4$, $\text{Li}_2\text{F}\cdot \text{BO}_2$
 $\text{Na}_2\text{F}\cdot \text{AlF}_4$, $\text{Na}_2\text{F}\cdot \text{BO}_2$
 $\text{K}_2\text{F}\cdot \text{AlF}_4$, $\text{K}_2\text{F}\cdot \text{BO}_2$
 $\text{Rb}_2\text{F}\cdot \text{AlF}_4$, $\text{Rb}_2\text{F}\cdot \text{BO}_2$
 $\text{Cs}_2\text{F}\cdot \text{AlF}_4$, $\text{Cs}_2\text{F}\cdot \text{BO}_2$
} (Fe)

(BF_3 , AlF_3 , FeF_3) + HF

Сигареты Н.Н.

Кандидат хим. наук, 1977, 3, № 8, 1128-1139
 Ульяновский государственный университет
 Ульяновск 430000
 Использование вибрационной спектроскопии
 для определения BF_3 , AlF_3 , FeF_3 .

Прилож., 1978, 1 № 161 10, n. ⑨

ZiAlCl₄

4078

1978

Rubbens A., Wallart F., Barbier P.,
Mairesse G., Vignacourt J.P.

M. n.

Daura

J. Raman. Spectrosc., 1978, 7, 249

G

ZiAlCl₄



M. 11.

Lilly
4334

1978

Smyrl N. R., Mamantov G., McCurryd.E.

M.N.
Ocuna

J. Inorg. Nucl. Chem., 1978,
40, p. 1489

3

in accy

M.N.

$\text{LiAl}(\text{SbCl}_3)_4$ (Comptes Rendus 280) 1979

Dhamelcourt -

U.R. crevif - Denonfaglise H.-C.
et al.

J. chim. phys. (Fr.)
1979, 76 (10), 919-~~23~~

Littell

1979

Kirkwood et al.

(cekris)
K.P

J. Inorg. Nucl. Chem.
1979, 41(2), 183-93.



(cek S_nCl₂; ¹¹¹I)

LiAlCl₄

3361

1979
Mamantov G., Marassi R., Poulsen F.
Springer S. E., Wiaux I. P., Huguenin,
Smyrl N. R.

Dewar

et. al.

J. Inorg. Nucl. Chem., 1979, 41, p. 260

LiAlCl₄

1

et. al.

LiAl

(Eng.)

1981

95: 138951d Self-consistent electronic structure of the intermetallic compound lithium-aluminum (LiAl). Asada, T.; Jarlborg, T.; Freeman, A. J. (Coll. Eng., Shizuoka Univ., Shizuoka, Japan 432). *Phys. Rev. B: Condens. Matter* 1981, 24(2), 510-16 (Eng). The electronic structure of the intermetallic compd. LiAl, which has a $B32$ structure, was studied by a self-consistent linear-muffin-tin-orbital method within the at.-sphere approxn. and in the local-d. formalism. The overall band structure and d. of states have a reasonable resemblance with those obtained previously by A. Zunger (1978), except for several important differences near the Fermi energy. Whereas the present results for ideal LiAl give poor agreement with expts. on real (vacancy-defect) LiAl, much better agreement was obtained after accounting for the presence of vacancies by shifting the Fermi level in a crude rigid-band manner corresponding to the vacancy concn. of $\sim 2\%$ estd. exptl. The shifted results gave satisfactory agreement with the existing magnetic-susceptibility and Knight-shift expts., and predicted *p*-type conduction for the real defect-phase LiAl, in agreement with recent exptl. findings.

Dr. Chayes

C.A. 1981,
95, N/6.

$Yi(HM_{k+1})$ 1982

$k=2,3$ Boldyrev A. I.,
Sukhanov L. P.,
et al.

meopeui., Koord. Khim. 1982,
paeriu. 8 (4), 430-436.

(Ces. $(MH_{k+1})^-$; III)

LiAlCl₄
LiAl₂Cl₇

1982

? Б1182. Инфракрасные спектры испускания хлоралюминатов и соответствующих расплавов. Infrared emission spectra of chloroaluminates and related melts. Hvistendahl Jan. «Avh. Inst. uorg. kjemi», 1982, № 39, X, 80 pp. (англ.)

Монография, состоящая из 6 глав и приложения. В первых 4 главах теоретически обоснован и методически разработан способ измерения ИК-спектров испускания относительно летучих расплавов солей при т-рах до 600° С. Получены выражения, описывающие испускание многослойных систем, находящихся между отражающей металлич. подложкой и непоглощающим окном. Показано, что излучательная способность расплава сильно зависит от наличия отражений между подложкой и окном, искажающих контуры эмиссионных полос. Для учета этих искажений предложено использовать значения эффективной излучательной способности, равной отношению интенсивностей испускания тон-

ИК спектры

☒ 67

Х. 1984, 19, № 2

кого образца и этого же образца, имеющего существенно большую толщину, при к-рой он является непрозрачным. Предложенным методом измерены ИК-спектры испускания солей $MAlCl_4$ ($M=Li, Na, K, Rb, Cs$), $KMCl_4$ ($M=Al, Ga, In$), MAI_2Cl_7 ($M=Li, Na, K, Cs$), $CsGa_2Cl_7$ и расплавов $NaAlC_4—Al_2Cl_6$, к-рые приведены в 5-й главе. Шестая глава посвящена обсуждению полученных результатов, отнесениям частот и выводам о структуре солей в тв. состоянии и в расплаве.

А. Н. Курск

,

6

Se.

$\text{Li}_2\text{F}_{K+1}$

1982

Кирилленко Н.Н., Зак-
раскин И.В., Кекеев Б.Г., Чапкин О.П.
и соавторы, Координация. Журнал,
статья, 1982, № 1, 903-912.

E.

($\text{C}_{22}\text{Li}_2\text{F}_K)_2$; Li_2F_K)

LiAlO_2

1982

Ogden S., Williams
S. J.

Polymer,
Ceramic
J. Chem. Soc. Dalton
Trans., 1982, NY,
825-831.

(Cer. LiPO_2 ; $\underline{\text{III}}$)

LiAlCl_4 1983
 LiAl_2Cl_7 Klaeboe P., Rytter E.,
et al.

J. Mol. Struct., 1984, 113;
Piwowarska, Mol. Spectrosc. and Mol.
Struct. 1983, Proc. 16 Eur.
Congr., Sofia, 12 - 16 Sept.,
1983, Pt A, 213 - 226.

(ac. AlCl_3 ; III)

ALO_{Li} Om. 17836 1983

Зюдина Т. С.,
Чаркевич О. Н.

авт.

расс.

и. канд. хим. наук,
1983, 28, № 2, 3003-3008.

(ав. ALOCH₃; III)

LiAlH_3
 LiAlH_4

1984

paeret.

зарегистрировано
Запорожск. ф. п. в гг.

Тр. МДОУ. Хим.-технол.
иц-т, 1984, № 134,
13-26

(см. дитячі; III)

LiAlCl₄

1984

Curtiss L.A., Blarder M.

ab initio
pacem

J. Electrochem. Soc.
1984, 131(10), 2241-4.

● (c. LiAlF₄; III)

LiAlCl₄(2) L0M · 207465 1984

Curtiss L.A., Blander M.,

J. Electrochem. Soc., 1984,
131, N10, 2271-2274.

M.N.

$\text{Li}_2\text{AlF}_3\text{O}$ [Dm. 20746] 1984

Curtiss Z.A., Blander
M.

no. 111, J. Electrochem. Soc.,
Cetipykm., 1984, 131, N10, 2271-
2274.
- 2274.

(Cess. $\text{Li}^+\text{Al}^+\text{F}_4^-$; III)

$\text{Li}_2\text{AlF}_3\text{O}(2)$

(Am. 20746)

1984

$\text{Li}_2\text{AlCl}_3\text{O}(2)$

Curtiss D.A., Blander M.

M.N.

J. Electrochem. Soc.,
1984, 131, N10,
2271-● 2274.

MAL_xCl_y
MAL_xCl_y
M-Li, Na, K, Rb, Cs

[Om. 19309]

1984

Alvistendahl Y.,
Klaesboe P., et al.,
Inorg. Chem., 1984,
23, N6, 706-715.

LitAlz Clz Laës. 18968

1984

Klaebol P., Rytter E., et al
J. Mol. Struct., 1984, 113:
*UK cremp
racemata*,
J.
Mol. Spectrosc. and Mol
Struct. 1983, Proc. 16 Eur
Congr., Sofia, 12-16 Sept.,
1983, Pt A, 213-226.

LiAlH_4

1985

Charkir O.P., Musa-
cîrçukmura ev D.G., et al.
v cînâdînî, Koord. Khim.
meop. paerem. 1985, II(6), 728-
- 733
(cet. LiBH_4 ; I)

$\text{LiAlCl}_4 \cdot 3\text{SO}_2$

1985

2 Б1258. Исследование спектров комбинационного
рассеяния сольваты $\text{LiAlCl}_4 \cdot 3\text{SO}_2$ как функция от темпе-
ратуры. Raman study of the solvate $\text{LiAlCl}_4 \cdot 3\text{SO}_2$ as a
function of temperature. Dhamelin court M. C.,
Wallart F., Barbier P., Mairella C. «17 th Eur.
Congr. Mol. Spectrosc., Madrid, 8—13 Sept., 1985:
EUCMOS XVII. Abstr.» S. I, s. a., P—145 (англ.)

спектр
конфигур.
расщепление

X. 1986, 19, N 2.

Aldi
little

[oer. 24/95]

1986

pacem
Eugon. u
дарвес
узеев.

Чаркин О.Н.,
Зюбина Т.С.
Коопзеткас. журн.,
1986, 12, №8, 1011-1037.

LiAlF_4

1986

Gutser G. L.,
Boldyrev A. I.

Kb. uex.
pacem.

Zh. Neorg. Khim.,
1986, 31(9), 2200-4.

(crys. LiBeF_3 ; II)

LiAlH

1986

18 Б1028. Структура и стабильность комплексных гидридов LMH_{n+1} и продуктов их распада по данным неэмпирических расчетов с учетом электронной корреляции. Зюбин А. С., Горбик А. А., Чаркин О. П. «Ж. неорг. химии», 1986, 31, № 5, 1091—1097

В рамках методов самсогласованных электронных пар и конфигурац. взаимодействия с учетом всех одно- и двукратно возбужденных валентных конфигураций в двухэкспонентном базисе рассчитаны энергии альтернативных конфигураций молекул $\underline{LiMgH_3}$, \underline{LiAlH} и различных продуктов их распада. Результаты сравниваются с данными аналогичных расчетов молекул $\underline{LiBeH_3}$, $\underline{LiBH_4}$ и продуктов их распада, выполненных ранее в близком по кач-ву базисе 6—31 ГФ**. Анализируется влияние электронной корреляции на относит. энергетич. х-ки гидридов элементов 2- и 3-го периодов.

Резюме

(73)

18

X. 1986, 19, N 18

Aldi

Лот. 29508]

1988

могрэм.

расём,

характер.

Красн.

СБРЗС.

Касимовка Н. И.,

Ильинск А. И.,

Чапкин О. Н.

Н. С. Структур. химии,

1988, № 3, 22-27.

Li_2AlH_5

OM. 30151

1988

СМЕРЖИ
Н. Е. КИДАЧОВА
МЕДП. ПАУЛЕН

III: 12742s Potential surface of dilithium pentahydroaluminate by the MO LCAO SCF method. Ozerova, V. M.; Konovalov, S. P.; Solomoik, V. G. (Ivanov. Khim.-Tekhnol. Inst., Ivanovo, USSR). *Koord. Khim.* 1988, 14(10), 1341-4 (Russ). The energetic stability and the geometry of the Li_2AlH_5 mol. were studied using the Hartree-Fock-Roothan method with a 2-exponent basis. The ground state has a C_{2v} symmetry with a planar 6-member ring perpendicular to the plane of the AlH_2 fragment. The geometry of the ground state was detd. The relative energies of the alternative configuration were refined using an extended basis with polarization functions at the H and Al atoms.

C.A.1989, III, N 2

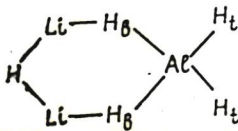
У. Альф

от 30/51

1988

23 Б1035. Исследование потенциальной поверхности молекулы Li_2AlH_5 методом МО ЛКАО ССП / Озерова В. М., Коновалов С. П., Соломоник В. Г. // Координац. химия.— 1988.— 14, № 10.— С. 1341—1344.— Рус.

Методом Хартри—Фока—Рутана в двухэкспонентном базисе изучены энергетич. стабильность и геометрич. строение молекулы Li_2AlH_5 . Основной является



структура симметрии C_{2v} вида с плоским шестичленным циклом, перпендикулярным плоскости концевого фрагмента AlH_2 . Равновесные параметры этой конфигурации: $R(\text{Al}-\text{H}_t)=1,589$, $R(\text{Al}-\text{H}_b)=1,665$, $R(\text{Li}-$

Х. 1989, № 3

$\text{H}_b) = 1,784$, $R(\text{Li}-\text{H}) = 1,738 \text{ \AA}$, $\alpha(\text{H}_t\text{AlH}_t) = 120,5^\circ$,
 $\alpha(\text{LiHLi}) = 112,2^\circ$, $\alpha(\text{LiH}_b\text{Al}) = 137,2^\circ$, $\alpha(\text{HLiH}_b) = 117,7^\circ$,
 $\alpha(\text{H}_b\text{AlH}_b) = 97,9^\circ$. Относит. энергия альтернативных конфигураций Li_2AlH_5 и энергии мономолек. распада по различным каналам, самый выгодный из к-рых $\text{Li}_2\text{AlH}_5 \rightarrow \text{LiH} + \text{LiAlH}_4$ (1), уточнены в расчетах с расширенным базисом, дополненным поляризац. ф-циями на атомах H и Al. Найдено, что структуры молекулы, содержащие анион AlH_5^{2-} , различным образом координированный катионами Li^+ , лежат по энергии на ~ 100 кДж/моль выше основной. Энергия $\Delta E(1)$ равна 164 кДж/моль.

Автореферат

бря,
на:

Li₂AlH₅

От 30.151

1988

1 Д47. Исследование потенциальной поверхности молекулы Li₂AlH₅ методом МО ЛКАО ССП / Озерова В. М., Коновалов С. П., Соломоник В. Г. // Координац. химия.— 1988.— 14, № 10.— С. 1341—1344

Методом Хартри—Фока—Рутана в двухэкспонентном базисе изучены энергетич. стабильность и геометрич. строение молекулы Li₂AlH₅. Основной является структура симметрии C_{2v}. Относит. энергия альтернативных конфигураций Li₂AlH₅ и энергии мономолекулярного распада по различным каналам, самый выгодный из которых Li₂AlH₅—LiH+LiAlH₄, уточнены в расчетах с расширенным базисом, дополненным поляризац. ф-циями на атомах H и Al. Найдено, что структуры молекулы, содержащие анион AlH₅²⁻, различным образом координированный катионами Li⁺, лежат по энергии на ~100 кДж/моль выше основной. Энергия ΔE (1) равна 164 кДж/моль.

Автореферат

cf. 1989, № 1

1988

Li_nAl

$n=1 \div 4$

М.Н.

(+)

ф. 1988, 18, № 9

† 9 Д138. Электронное строение и геометрические параметры гетероатомных кластеров. Electronic structure and geometries of heteroatomic clusters. Rao B. K., Jena P. «Phys. Rev. B: Condens. Matter», 1988, 37, № 6, 2867—2873 (англ.)

Строение кластеров Li_nAl , $n=1 \div 4$, и Li_nMg , $n=1 \div 7$, в основных электронных состояниях исследовано методами ССП и конфигурац. взаимодействия с учетом двукратных возбуждений хартри-фоковской конфигурации. Определены равновесные геометрич. параметры кластеров, энергии атомизации и удаления гетероатома, потенциалы ионизации; проанализированы распределения зарядовой плотности. Образование связи гетероатома с атомами Li объяснено значительным переносом электронной плотности от гетероатома. Зависимость энергии этой связи от n достаточно быстро достигает насыщения. Альтернирование свойств кластеров Li_nMg с четными и нечетными n аналогично установленному экспериментально для K_nMg .

А. В. Зайцевский

$\text{Li}_n\text{Mg } n=1 \div 7$

Li₃AlH₆

1989

110: 162726h Comparative study of hexahydro- and hexadeuterioaluminates of lithium and sodium. I. Raman and infrared spectra of Li₃AlH₆, Na₃AlH₆ and Li₃AlD₆. Bureau, Jean Claude; Amri, Zina; Claudio, Pierre; Letolle, Jean Marie (Lab. Thermochim. Miner., CNRS, F-69621 Villeurbanne, Fr.). *Mater. Res. Bull.* 1989, 24(1), 23-31 (Fr). Raman and IR spectra of Li₃AlH₆, Na₃AlH₆, and Li₃AlD₆ were investigated in order to study metal-H interactions. A vibrational anal. was performed. Several force field models (Urey, H. C., Bradley, C. A.; 1931 Orbital Valence force field, Shimanouchi, T., Nakagana, I., 1962, Murrell, N. N., 1969) were used in order to compute the force consts. of Al-H bonds. No significant difference was obsd. between the results obtained from the various models, and the environment of Al was detd.: AlH₅³⁻ forms an almost perfect octahedron in Li₃AlH₆ and a distorted one in Na₃AlH₆.

(uk u CP)

⑦2

⊗



Na₃AlH₆, Li₃AlD₃

c.a. 1989, 110, n 18

Li_3AlD_3

1989

Bureau Year Class-
de, Amre Zira et al.

UK₄ Mater. Res. Bull. 1989,
CRP 24(1), 23-31.

(e.g. Li_3AlH_6 ; III)

Litt.

(om. 32269)

1989

Лукаев Д.Г., Якобсон В.В.
и др.,

Структура
стабильн.,
теорем.
расчет.

Ис. Георгии. Хлебников,
1989, 34, № 8, 1946–52.

LiAlO_2

(№ 32269)

1989

Мусаев Д.Г., Якобсон В.В.,
Заркун О.Н.

и.и.

М. неопред. химии, - 1989. -
34, № 8. - С. 1946-52

(Си. ди BO_2 , III)

LiOALS (Om. 32269) 32269
LiOALS 1989

структура,
свойства,
теорем.
пакет.

Мусатов Д.Г., Икобенов В.В.
УГР.,
И. Морозин, Редисов,
1989, 34, № 8, 1946-52.

LiAlS_2 OM 32269 1989

Мусаев Д. Р.,
Якобсон Б. В. и др.

Ж. неорг. химии.
т. 1. 1989. № 8. С. 1946-
1952.

(cell. LiOBO_2 ; III)

LiAlF_2

DM 31253, 32047 1989

Seleznev V. V.,

Solominik V. G. et al

pacem

sp. n.,

Zeekamp.

Coevi.

Zh. Neorg. Khim. 1989,
34(3), 549-55.



(cell. LiBH_2 ; H_2)

LiAlF₂ (DM-3253), 32047 1989

Сеизмич. В.В., Струевомик В.Г.

УГР.,

МЕОРЕМ.

ПОДРЕМ

СМРУКМ.
У

СМАДСИЛН.

Ж. МЕОРАМ. ИССЛЕД.,
1989, 34, №3, 549-555.

LifAlfa (OM-31253), 32047 1989

СЮРІЗНЕВ В.В., СОЛОДОРОВИЧ В.Г.

меопем. "УГР.",
пакрем. згс. Мелодрам. жанр, 1989, № 3, 549-555.
сприякм. 1989, 34, № 3, 549-555.
и
смайбичм.

LiAlS⁻ (On 30950) 1989
Yakobson V. V.,
Musaev D. F. et al.

200xempis,
смруктурс,
130xepis

Zh. Strukt. Khim.
1989, 30(1), 19-28.

( LiSiN⁻; III)

Li Alf+ (DM-30950) 1989

Якобсон В.В., Мусаев Д.Г.

45 гР.,

(UЗoлeрпiз) ИС. Структур. Химии,
1989, 30, №1, 19-28.

LiAls (OM-30950) 1989

Якобсон В.В., Мусатов А.Г.

11 гр.,

(УЗАМЕРУ.8) ин. структур. химии,
1989, 30, №, 19-28.

LiALD (DM 30950) 1989

Якобсон В.В., Мусаев Р.Г.
ИГРП.

(УЗОмеруэ) Ин. структур. химии,
1989, 30, №1, 19-28.

LiAlCl⁺ On 30950 1989

Yakobson V.V.,
Musaev D.G. et al.

рассмотря,
спрятаны,
изданы
1989, 30(1), 19-28.

(см. LiSiN⁻; ii)

1989

LiBH_2

Зюбич А. С.,
Чаркин О. П.

и. н.

Ж.-сөйрүктер. жерлер.
1989. 30, № 5. с. 21-26.

(см. LiBH_2 ; III)

LiBH₄⁺

(DM 32240)

1989

Зюдкин А. С., Тархов О. И.

номер
реакти-
вации

н. оружияхъ засед., 1989,
30, ~ 3, 19-23



(Ces. LiBH₄⁺, 1^М)

Li-AlCl⁺

(DM-32240)

1989

Зюдак А. С., Чаркес О. И.

номеру.

номер:
расцв 1989, 30, ~3, 19-23



(Cer. Li BH⁺, III)

LiAlF₄⁺

(№ 32240)

1989

Зюдкин А. С., Чаркисси Д. Г.

номенк.

номерн.,
расим

М. органическое
1989, № 30, 3, 19-23

○ (Cu. LiBH₄⁺III)

LiAlF_4^+

(DM. 32240)

1989

LiAlCl_4^+

Зюбин А.С., Чаркин О.Г.,

теорет.
расчет
имити-
рован.

ж. структур. химии,
1989, 30, №3, 19-23.

LiAl₂

[OM. 32685]

1989

Зюбин A.C., Чаркис О.Г.,

номенз.

поверхн.,

нейтронир.

расцемент

дл. структур. химии,
1989, 30, N5, 21-26.

$C_5H_5AlLi_2$

1990

Приготовлен И.Н.,
Смирнов Б.Д. и др.

лл.н.

Ил. орган. химии. 1990.

36, №1. С. 210-212.

(лл. $H_2B\dot{L}i_2$; iii)

LiAlH_2 и др. 1990
Зюбин А. С.,
Торбик А. А. и др.

Химия неорганических соединений:
и. н. Докт. Ч Всес. совета, Душанбе,
1987; Сб. науч. тр. АН ССР.
212-м одн. и неорганическим.
М., 1990. с. 182-193.
(одн. LiBH_2 ; III)

$\text{Li}_2\text{AlD}_7^+$

1991

Mesaev D.F., Yakobson V.V.,
et al.,

Спиркула,
снастей,
исп. пасын

Zh. Neorg. Khim. 1991,
36(9), 2340-7

(ал. Li_2BO_7^+ ; III)

Li_2AlS^+ 1991
Мусаев Р.Т., Яковсон В.В.
ИГР

и.н.

ж. Неорганическая химия. 1991.

36, № 9. с. 2340-2347.

(ак. $\bullet \text{Li}_2\text{BO}^+$; $\frac{1}{2}$)

Li_2AlO^+ 1991
Мусаев Д.Т., Якобсон В.В. и др.

н.н.

№. меоргам. эксп. 1991.
36, №. с. 2340-2347.

(см. $\bullet \text{Li}_2\text{BO}^+; \text{---}^{\text{II}}$)

LiAlF_4

1991

Ramondo F., Bencivenni L. et al.

synth - chem. Phys. 1991. 158,

mpa), N.F. C. 41-57,

Alp.

rate

(ee. $\bullet \text{LiBF}_4$; III)

LiSiF_3

Ramondo F.,
Bencivenni L., et al.
1991

vacuum
mekrokh.
composition.

Chem. Phys. 1991. 158,
N.L.C. 41-57.

(crys. $\bullet \text{LiBF}_3$; III)

LiAlF_2

Соломоник В. Г.,
Сулзеб В. В.,

1991

и.н.

Координац. журн. 1991.

17, №. с. 1197-1206.

(см.  LiAlF ; III)

LiAlH_2 Соловьев В. Г., 1991
Слизнев В. В.,

и.н. Координац. химия. 1991.
17, №. с. 1197-1206.

(coll.  LiMgF ; III)

LiBH_4 , Зюбин А. С., OM 35836 1991
 $\text{Li}^+\text{B}_2\text{H}_7^-$ Мусаев А. Г., Чаркин О. Г.

дис. канд. хим. наук. 1991.

ст.н.

36, №. с. 2330-2339.

(cell. $\text{Li}^+\text{B}_2\text{H}_7^-$; $\underline{\underline{\underline{m}}}$)

LiAl₂H₇ (dm 35836) 1991

Зюдлер А.С., аlyсаев Р.Г. и пр.

Структура, ИС. М.Юргаш. Женевы,
кб.-хим. 1991, 36, № 9, 2330-2339.
рассмотрена

Квантово-химические методы,
Структуры и свойства

Koordinatenschichtzusammensetzung
 LB_2H_7 , LBAlH_7 u LAl_2H_7
($\text{L} = \text{Li}^+, \text{Na}^+, \text{Cu}^+$).

Л. А. Соколова 1991
С. Т. Рыжков.
С. Г. Чаркин
Журнал химии
и химической технологии. 1991, № 12, 2086

сост. ФБСК (И)

LiAlO_2 Bencivenni L.,
Pelino M. et al. 1992

y. Mol. Struct. Theo-
reop. chem. 1992. 253. C.
paerem 109-120.

(act.  Al_2O_3 ; III)

LiAlS_2 1992
Bencivenni,

Pelino et al.

M.-n. J. Mol. Struct. Theochem.
1992. 253. c. 109-120.

(cell. $\bullet \text{Al}_2\text{O}_3$; III)

LiOAlS

1992

LiSiAlO Bencivenni L.,
Pelino M. et al.

J. Mol. Struct. Theochem.

N. 1. 1992. 253. C. 109-120.

(c.u. $\bullet \text{Al}_2\text{O}$; $\overline{\text{III}}$)

(LiAlS)₂ 1992

Мусаев Д. Г.,

Якобсон В. В. и др.

н. н. Ж. Сейрукомул. XII -
мисс. 1992. 33, № 1.

с. 10-17.

(ав. (LiBO)₂; III)

$(\text{LiOAl})_2$ 1992
Мусаев Р. Г.,
Якобсон В. В. и гр.

Ж. структур. химии.
и. н. 1992. 33, № 1. с. 10-17.

(см.  $(\text{LiBO})_2$; III)

L'HeLLy

1992

Ramondo F.,
Bencivenni L. et al.

cristallography, THEOCHEM 1992,
Vi, meop. 96, 141-84.
parerem

(cell. Mg_2F_4 ; --)

ZiAlF₄

1992

Frolič M., Šarha N., et al.,

J. Mol. Struct. Theochem. —
1992, 258, N1-2, C-251-260

M.N.

(All-ZiAlF₄; III)

LiAl

1993

LiAl^+

Boldyrev A.I.,
Simons J. et al.

ab initio
pacräum

J. Chem. Phys. 1993,
99(11), 8793 - 504.

oem. eccii,
w.n.

(ecc. Li_2 ; $\frac{11}{11}$)

AlLi_n

1993

$n \leq 6$

смесь непа

и

смазка на
масл. пакет

119: 211206k Energetics and structures of aluminum-lithium clusters. Cheng, Hai Ping; Barnett, R. N.; Landman, Uzi (Sch. Phys., Georgia Inst. Technol., Atlanta, GA 30332 USA). *Phys. Rev. B: Condens. Matter* 1993, 48(3), 1820-4 (Eng). Energetics and structures of small aluminum-lithium clusters were investigated using structure minimization and dynamic simulated annealing on the electronic Born Oppenheimer surface, caled. via the local spin-d-functional method in conjunction with nonlocal pseudopotentials. It is suggested that evolutionary patterns of electronic structure, energetics, and binding in AlLi_n clusters may be analyzed within a framework where at.-based characteristics, assocd. mainly with closing of the Al 3p shell, dominate for $n \leq 5$, while a perturbed delocalized electronic cluster-shell pattern, contg. an AlLi₅ core, develops for larger clusters (i.e., for $n \geq 6$). The ground-state electronic and geometrical structures of AlLi_n clusters, as well as those of AlLi₁₀ which may be viewed as two slightly distorted AlLi₅ units bonded to each other, are discussed.

C.A. 1993, 119, n.20

LiAlF₄

1993

121: 308769a Ab initio molecular orbital calculations of molten salt vapor complexes using Gaussian-2 theory: LiAlF₄ and NaAlF₄. Curtiss, L. A. (Chemical Technology Division, Argonne National Laboratory, Argonne, IL 60439-4837 USA). Proc. - Electrochem. Soc. 1993, 93-9(MOLTEN SALT CHEMISTRY AND TECHNOLOGY 1993), 31-41 (Eng). The structures and energies of the molten salt vapor complexes LiAlF₄ and NaAlF₄ are studied using new high level ab initio MO methods. The structures are detd. using Moeller-Plesset perturbation theory to second-order and the total energies are detd. using a recently introduced modification of Gaussian-2 (G2) theory. The total energies are used to det. relative energies of the corner-, edge-, and face-bridged structures and accurate reaction energies. The results are compared to previous theor. and exptl. studies.

Смркнєса
и смагунъ,
мен-пачт

⊗④ Natlfy

C.A. 1994, 121, N 26

1993

Li₂Al₂H₈

1 Б1044. Квантово-химическое исследование структуры и стабильности димера алюмогидрида лития $(\text{LiAlH}_4)_2$ /Зюбин А. С., Чаркин О. П., Шлойер П. ф. Р. //Ж. неорган. химии .—1993 .—38 ,№ 8 .—С. 1400—1408 .—Рус.

В рамках неэмпирич. подхода на уровне ССП/З-21 ГФ* с использованием аналитич. градиента рассчитаны геометрич. параметры, определен характер стаци. точек потенциальной поверхности, вычислены энергии нулевых колебаний для различных конфигураций системы $\text{Li}_2\text{Al}_2\text{H}_8$. Относит. стабильность этих конфигураций и энергии распада основного изомера на более простые фрагменты уточнены с учетом электронной корреляции в рамках четвертого порядка теории возмущений (МП40ДТЧ6-31ГФ**). На примере расчетов LiAlH_4 показано, что дальнейшее уточнение результатов (реоптимизация геометрич. параметров с учетом электронной корреляции и расчет энергетич. х-к с использованием более гибких базисов) не приводит к существенным измене-

Jir

Х. 1994, N/

ниям рассчитанных величин. Найдено, что строение основного изомера $\text{Li}_2\text{Al}_2\text{H}_8$ соответствует солеобразной структуре симметрии C_{2h} с ионами Li^+ и AlH_4^- , причем каждый из катионов Li^+ координирован с четырьмя атомами H. Конфигурации с более низкими координац. числами Li^+ менее стабильны, при этом структуры, в к-рых хотя бы один Li^+ является трехкоординированным, соответствуют локальным минимумам потенциальной поверхности. Еще менее выгодны солеобразные структуры типа $\text{Li}_2\text{H}^+ \cdot \text{Al}_2\text{H}_7^-$, хотя конфигурации с бидентатной координацией групп AlH_3 к катиону Li_2H^+ являются стабильными изомерами. Обмен протонов между двумя группами AlH_4 по симм. внутримолек. каналу энергетически невыгоден. Наиболее вероятный путь такого обмена связан с отрывом фрагмента AlH_3 и требует примерно таких же затрат энергии, что и разделение $\text{Li}_2\text{Al}_2\text{H}_8$ на две молекулы LiAlH_4 . Библ. 49.

Aldi

(pn. 37773)

1994

Soldner A.I., González N.,
Simons J.,

Korolevskij,
meopen
paraffin J. Phys. Chem., 1994,
 98, N40, 9931-9944

Li-Al

DM 38263

1994

Konstantinov,
Brock L.R., Pilgrim J.S.,
Duncan M.A.,

Chem. Phys. Lett., 1994,
230, 93-98

Photoionization ● spectroscopy of
Li-Al

Li₃Al

1994

121: 92422g Stabilities and vertical excited states of Li₃Al and Li₂B₂. Zhang, Huabei; Tian, Anmin; Yan, guosen (Chem. Dep., Sichuan Univ., Chengdu, Peop. Rep. China 610064). *Wuli Huaxue Xuebao* 1994, 10(6), 481-3 (Ch). The equil. geometries of Li₂B₂ and Li₃Al were optimized with the energy gradient method by using

a double-zeta plus polarization (DZP) basis set. The vertical electronic excitation energies and oscillator strengths were obtained from ab-initio CI calcns. The transitions to 1¹B₁, 2¹B₁, 5¹A₁ of AlLi₃(C_{2v}) and 1¹B₂, 2¹A₁, 3¹B₂, 3¹A₁ of AlLi₃(D_{3h} → C_{2v}), and 3¹B₂, 1¹B₁, 4¹A₁ of B₂Li₂(C_{2v}) and 1¹B_{2u}, 2¹B_{1u}, 3¹B_{3u} of Li₂B₂(D_{2h}) have significant oscillator strengths.

Спиральная
и энантиморф.
метод. расчет

⑦

Li₂B₂



C.A. 1994, 121, N8.

AlLi₆⁺

1995

Ivanick J.,
Charkin D.P. et al.

ab initio Zh. Neorg. Khim.
предсказана
есягадиевы.
и сопутствует.

1995, 40(11), 1892-

- 9.

(acc. AlLi₆; III)

AlLi₅

1995

Ivanic, Z., Charkin O.P.,
et al,

neopen · Zh. Neorg. Khim., 1995,
pacem 40(6), 1000-4.

(Coll. AlLi₅; III)

Aldis

1995

124: 98224c Trigonal-twist rearrangement in hexolithide AlLi_6 clusters with 8 and 10 valence electrons: an ab initio study. Ivanich, J.; Charkin, O. P.; Klimenko, N. M.; Marsden, C. J. (Inst. Chem., Univ. Melbourne, Australia). *Zh. Neorg. Khim.* 1995, 40(11), 1892-9 (Russ). High-precision ab initio calcns. are presented (MP4S/DZP//HF/DZP + ZPE(HF/DZP) and QCI-SD(T)/DZP//MP2/DZP + ZPE(MP2/DZP)) on O_h and D_{3h} geometries of BeLi_6 , CLi_6 , SiLi_6 , AlLi_6^+ , NLi_6^+ , PLi_6^+ , BLi_6^+ in singlet state. The barrier for the trigonal-twist rearrangement $\text{O}_h \rightarrow \text{D}_{3h} \rightarrow \text{O}_h'$ is not higher than 10-17 kcal/mol for the third-row elements. Data are presented for the geometry, total energy, relative energies, vibrational frequencies, orbital energies and electronic charges.

ab initio
vacuum
MASUNO.
u CMYKPPR

(th) X

C. A. 1996, 124, N 8

Li Alffy

1995

Schreiner Peter R., Schaefer H.F.;
et al.,

M.N. J. Chem. Phys., 1995,
103, N 13, C. 5585-69

(au. Alffy; III)

1995

F: HAlLiF

P: 3

9Б171. эмпирическое исследование геометрии HXLiF ($X=B, Al$) / Wang Y.-X., Liu C.-B., Deng C.-H. // Gaodeng xuehao huaxun xuebao = Chem. J Chin. Univ. - 1995. - 16, N 9. - С. 1445-1448. - Кит.; рез. англ
эмпирическим методом ССП МО ЛКАО в базисе 6-31ГФ{*} исследовано
электронное строение HXLiF, $X=B, Al$. Показано, что для $X=B$ наиболее
стабильна тригональная, а для $X=Al$ - четырехчленная циклич. структура
Обсуждена природа связи в этих соединениях.

Р. Ж.Х. № 9, 1996

1995

F: AlLi3

P: 3

- 1Б138. Геометрическая структура и вертикальные возбужденные состояния AlLi[3] / Zhang Hua-Bei, Tian An-Min, Yan Guo-Sen // Huaxue xuebao = Acta chim. sin. - 1995. - 53, N 6. - С. 538-542. - Кит.; рез. англ. Неэмпирическим методом ССП МО ЛКАО в двухэкспонентном базисе с включением поляризац. ф-ций и с учетом КВ рассчитана равновесная геометрия AlLi[3]. Также рассчитаны энергии и силы осцилляторов вертикальных переходов.

Р.Ж.Х. №1, 1996

Li₃Al

1995

123: 123687v Geometric structures and vertical excited states of Li₃Al. Zhang, Hua-Bei; Tian, An-Min; Yan, Guo-Sen (Chemistry Dep., Sichuan Univ., Chengdu, Peop. Rep. China 610064). *Huaxue Xuebao* 1995, 53(6), 538-42 (Ch). The equil. geometries of the heteroat. cluster AlLi₃ have been optimized with the energy-gradient method by using double-zeta plus polarization (DZP) basis set. The vertical excitation energies and the oscillator strengths have obtained from the ab-initio CI method. Transitions to 1¹B₁, 2¹B₁, 5¹A₁ of AlLi₃ (C_{2v}), 1¹B₂, 2¹A₁, 3¹B₂, 3¹A₁ of AlLi₃ (D_{3h} → C_{2v}), 3¹B₂, 1¹B₁, 4¹A₁ of B₂Li₂ (C_{2v}), and 1¹B_{2u}, 2¹B_{1u}, 3¹B_{3u} of Li₂B₂ (D_{2h}) have considerable values of the oscillator strength. The single excitations (particle-hole transitions) dominate in states with large intensity.

*Спиральная
л*

Найдено

Н. СОЕМ

meop. pacut

C.A. 1995, 123, n10

1996

F: LiAl₂H₇

Р: 3

17Б134. Неэмпирическое исследование стабильности и структурной нежесткости аниона Al[2]H[7]{-} и молекул LiAl[2]H[7], Al[3]H[7] / Чаркин О. П., МакКи М. Л., Шлойер Р. // Ж. неорган. химии. - 1996. - 41, 12. - С. 2080-2095. - Рус.

Выполнены неэмпирические расчеты (QSI-SD(T)/6-31+G{**}//MP2/6-31G{*}+ZPE(MP2/6-31G{*})) с использованием квадратичного метода КВ и приближения МП2 участков поверхности потенциальной энергии в окрестности различных структур биядерного аниона Al[2]H[7]{-} и молекул LiAl[2]H[7], Al[3]H[7]. Определены их равновесные геометрические параметры, частоты нормальных колебаний, относительные энергии и энергии распада. Для аниона наиболее выгодна структура C[2] с изогнутым мостиком (угол Al-H-Al'ПОДОБН'145{°}), чрезвычайно нежестким к изгибу и вращениям групп AlH[3], но весьма жестким (барьер 'ПОДОБН'12.5 ккал/моль) к терминально-мостиковому обмену протонов. В молекуле соли LiAl[2]H[7] катион Li{+} располагается над мостиком Al-H-Al, а анион в поле катиона становится более жестким. Для молекулы Al[3]H[7] локализовано шесть низколежащих локальных минимумов, отвечающих изомерам ионных пар Al{+}*Al[2]H[7]{-}, Al[2]H[3]{+}*AlH[4]{-} и замещенного диалана Al[2]H[5](AlH[2]) с группой AlH[2] в терминальной позиции. Обсуждены возможные механизмы нежестких внутримолек. перегруппировок в этих алюмогидридах, подчеркнута необходимость многоструктурного динамического подхода при описании их геометрического строения. Библ. 32.

РМХ |

Li Alaff

1996

126: 148808k Ab initio study of the stability and structural nonrigidity of the anion Al_2H_7^- and molecules LiAl_2H_7 , Al_3H_7 . Charkin, O. P.; McKee, M. L.; Schleyer, P.v.R. (Inst. Nov. Khim. Probl., RAN, Chernogolovka, Russia). *Zh. Neorg. Khim.* 1996, 41(12), 2080–2095 (Russ), MAIK Nauka. Potential surfaces are calcd. of the title compds. by QCI-SD(T)/6-31+G**//MP2/6-31G*+ZPE(MP2/6-31G*) as well as their equil. geometries, vibrational frequencies, relative energies, and heats of dissociation. The nonrigidity in respect to mol. distortions and at. exchanges are discussed.

составлено
С. П. Князев
М. О. П. Маркес

Д

(f2)

C. A. 1997, 126, N 11

1996

F: LiAl₂F₇

Р: 3

17Б135. Неэмпирическое исследование стабильности структуры и нежестких внутримолекулярных перегруппировок у биядерных фторалюминатов Al[2]F[7]{-}, LiAl[2]F[7] и Al[3]F[7] / Чаркин О. П., Клименко Н. М., МакКи М. Л. // Ж. неорган. химии. - 1996. - 41, 12. - С. 2096-2104. - Рус.

Выполнены неэмпирические расчеты в приближениях ХФ и МП2 (MP2/6-31G{*}//HF/6-31G{*}+ZPE(HF/6-31G{*})) потенциальной поверхности низколежащих структур аниона Al[2]F[7]{-} и молекул LiAl[2]F[7] и Al[3]F[7]. Определены их равновесные геометрические параметры, частоты нормальных колебаний, относительные энергии и энергии распада на фрагменты. Для аниона предпочтительна структура C[s] с изогнутым мостиком, чрезвычайно нежестким к изгибу и вращениям групп AlF[3], но весьма жестким (барьер 'ПОДОБН'12 ккал/моль) к терминально-мостиковому обмену атомов F. В молекуле LiAl[2]F[7] катион Li{+} располагается над мостиком Al-F-Al. Молекуле Al[3]F[7] также отвечает структура ионной пары Al{+}*Al[2]F[7]{-}, нежесткая как к изгибам мостика и вращению группы AlF[3], так и к терминально-мостиковому обмену. Результаты сопоставлены с данными аналогичных расчетов родственных гидридов Al[2]H[7]{-}, LiAl[2]F[7] и Al[3]H[7], отмечена резкая стабилизация мостиковых структур с пятикоординационным атомом Al при переходе от Al[3]H[7] к Al[3]F[7].

P.W.

AlLi

$n=1, 13$

1996

126: 65689w Ground state geometries and energetics of Al_nLi ($n = 1, 13$) clusters using ab initio density-based molecular dynamics. Majumder, C.; Das, G. P.; Kulshrestha, S. K.; Shah, Vaishali; Kanhere, D. G. (Chem. Div., Bhabha Atomic Research Centre, Bombay, 400 085 India). *Chem. Phys. Lett.* 1996, 261(4,5), 515–520 (Eng), Elsevier. Based on orbital-free, ab-initio, mol.-dynamics calcns., the geometries and energetics of lithium-doped aluminum clusters (AL_nLi , $n = 1, 13$) have been investigated. It is seen that, a single impurity of Li affects the geometries of small ($n < 6$) clusters, and this effect is less pronounced for larger clusters. The results suggest extra stability for the Al_3Li , Al_6Li and Al_{13}Li clusters, which are in contrast with our earlier results on Li_nAl . The results indicate that the Li atom segregates to the surface of the aluminum cluster and prefers to form a tetrahedron, wherever possible, with one of the triangular faces of Al atoms. In particular, for Al_{13}Li , the Al_{13} core takes the most sym. icosahedral form with the Li atom occupying the outer 'hollow-site'.

ab initio
pacem
cmnykm.
u cnadun

KOCNU
C.A. 1997, 126, N5

Lip Alm

1996

с mayk myra
и с наступ.,
ab initio
paren

125: 19493j. Ground-state geometries and the stability of some Li_nAl_m clusters investigated using density-based ab initio molecular dynamics. Shah, Vaishali; Kanhere, D. G. (Dep. Physics, Univ. Poona, Pune, 411 007 India). *J. Phys.: Condens. Matter* 1996, 8(17), L253-L260 (Eng). D.-based ab initio mol. dynamics has been used to investigate the stability and ground-state geometries of heteronuclear clusters of Li_nAl_m ($n = 1, 7$) and Li_nAl ($n = 1, 8$). The s-p bonded electrons favor a tetrahedral coordination, which plays a significant role in stabilizing the geometries of these clusters. A remarkable ground-state structure is reported for the Li_8Al_6 cluster, namely a face-centered cube with the Al atoms at the face centers forming an octahedron and Li atoms at the corners of the cube. These clusters do not conform to the magic shell nos. obsd. for homonuclear alkali atom clusters.

C. A. 1996, 125, N 2

LiAlF₄

1996

11Б164. Неэмпирическое исследование с учетом электронной корреляции изомерии комплексных молекул типа MAF_4 ($M=Li, Na, K; A=Al, Ga$) / Слизнев В. В., Соломоник В. Г. // 1 Регион. межвуз. конф. «Актуал. пробл. химии, хим. технол. и хим. образ.»: «Химия-96», Иваново, 22—26 апр., 1996: Тез. докл.— Иваново, 1996.— С. 28—29.— Рус.

Методами Хартри-Фока-Рутана и теории возмущений Меллера—Плессета второго порядка в базисах сгруппированных гауссовых функций изучены геометрическое строение, силовые поля, частоты нормальных колебаний и интенсивности полос в ИК-спектрах молекул MAF_4 . Показано, что структура, соответствующие би- и тридентатной координации атома щелочного металла фрагментом AF_4 являются изомерами, а монодентатные конфигурации соответствуют седловым точкам на поверхности потенциальной энергии молекул MAF_4 . Выявленная в расчетах тенденция стабилизации тридентатного изомера по сравнению с бидентатным в ряду молекул $LiAlF_4 \rightarrow NaAlF_4 \rightarrow KAlF_4$ показала, что у фторалюминатов

(75)

X. 1997, N 11 *LiAlF₄, NaAlF₄, KAlF₄,*

и фторгаллатов более тяжелых щелочных металлов (Kb и Cs) в качестве основной следует ожидать тридентатную структуру симметрии C_{3v} . Изучены закономерности изменения геометрических параметров и силовых полей молекул MAF_4 в рядах $LiAF_4 \rightarrow NaAF_4 \rightarrow KAF_4$ и при переходе от фторалюминатов к фторгаллатам щелочных металлов. Проведен совместный анализ неэмпирических и имеющихся в лит-ре эксперим. данных о молек. параметрах рассмотренного класса соединений.

$KAlF_4$, $KBaF_4$

ин.
кие х.
тояу

Lik Alj

1996

126: 122801c The bonding properties of mixed clusters Li_kAl_j ($k, j \leq 3$). Zhang, Huabei; Zhang, Jinglai; Li, Zerong; Tian, Anmin; Yan, Guosen (Dept. of Chemistry, Sichuan Univ., Chengdu, Peop. Rep. China 610064). *Sichuan Daxue Xuebao, Ziran Kexueban* 1996, 33(3), 307-310 (Ch), Sichuan Daxue Xuebao Bianjibu. The equil. geometries of mixed clusters Li_kAl_j ($k, j \leq 3$) were optimized at the ab initio 3-21G level by using the energy gradient method. Occupied canonical MOs (CMO) were detd. using the Boys localization method. The anal. of the properties of LMOs showed two-center, multi-center, bending bonds and lone-pair electrons in these clusters. The relationships between bonding properties and stabilities are discussed.

Cmp - Pa,
CnafusrbH.
neop. paret

C.A. 1997, 126, N 9

1997

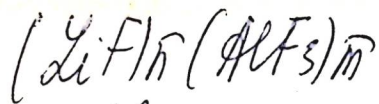
Allardiz⁺
Allardiz⁺
Allardiz⁺

Charkin Df. et al.,

meopen.
racem
Di, enantiom.
CHP-Atc

Zh. Neorg. Khim. 1997,
Yd (II), 1885-95

(all. diiz ● BO⁺; III)



1997

 $m, n = 1, 2$

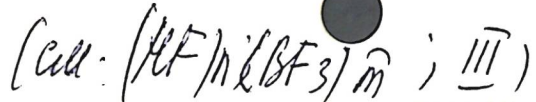
Scholz f. et al.,

CNP-PA,

CNAUW,

neopen-

paerem

g. Fluorine Chem. 1997,
86 (2), 181-42.

Li_n Al_n

n = 1-10, 12

1997

127: 71156g An ab initio molecular dynamics investigation of Li_nAl_n clusters. Shah, Vaishali; Kanhere, D. G.; Majumder, Chiranjib; Das, G. P. (Department of Physics, University of Poona, Pune, 411 007 India). *J. Phys.: Condens. Matter* 1997, 9(10), 2165-2177 (Eng), Institute of Physics Publishing. A systematic investigation of the ground-state geometries and stabilities of Li_nAl_n ($n = 1-10$ and 13) clusters made by employing ab initio d.-based mol. dynamics is reported. Although in the solid-state form, the 50:50 alloy takes on a B32-ordered structure, no evidence for such ordering has been seen for small clusters. Instead there is a clustering tendency of the Al atoms, and they tend to form inner clusters whose geometries are different from those of the free Al clusters. The Li and Al atoms favor a tetrahedral coordination due to the significant role of the s-p bonding of the electrons. A stability anal. based on energetics shows that the stability is enhanced in clusters where all of the Al faces have been capped by Li atoms, and this gives some remarkably interesting geometries, like the face-centered-cubic structure of Li_8Al_n .

*CMAI UMLH
in CNPJKM -
6 OCA. FA -
CO CMC & HLL,
MLOP. Facer*

C. A. 1997, 127, N 5

F: LiAlO₂

P: 3

20Б121. Неэмпирическое исследование изомерии в молекулах солей LiAB[2] с 16 валентными электронами / Чаркин О. П., МакКи М. Л., Шлойер П. Ф. Р. // Ж. неорган. химии. - 1998. - 43, 2. - С. 280-293. - Рус.

В рамках приближений MP2/6-31GФ{*}//XФ/6-31GФ{*}+ZPE(XФ/6-31GФ{*}) и MP4SDTQ/6-31GФ{*}//MP2/6-31GФ{*}+ZPE(MP2/6-31GФ{*}) выполнены неэмпирические расчеты поверхностей потенциальной энергии молекул солей LiAB[2] с анионами BO[2]{-}, BS[2]{-}, AlO[2]{-}, AlS[2]{-}, N[3]{-}, PN[2]{-}, NP[2]{-} и P[3]{-}, а также ионмолек. комплексов LiOP[2]{+} и LiSP[2]{+}. Найдены следующие наиболее выгодные структуры: линейная ил квазилинейная для нитридов LiN[3], LiPN[2]. и оксидов LiBO[2], LiAlO[2], бидентатная C[2v] (типа 'пи'-комплекса)

1998

РХУХ, 1998, №20

для тиосолей LiBS[2] и LiAlS[2], одноконцевая изогнутая C[s] для иона LiSSiS{+}, плоская циклическая C[2v] для LiOP[2]{+} и неплоская циклическая C[s] для LiSP[2]{+}. У молекулы LiP[3] локализованы три низколежащих и близких по энергии изомера: полусэндвичевый триплет C[3v](T), синглетный 'пи'-комплекс C[2v] и синглет C[s] со структурой "полураскрытой бабочки". Определены равновесные геометрические параметры и относительные энергии изомеров, ИК-частоты и интенсивности их нормальных колебаний. Проанализированы тенденции молек. свойств солей LAB[2] и изоэлектронных ионов LAB[2]{+} при замещении легких атомов L, A и В их аналогами по подгруппам и в других родственных рядах, прогнозируются соединения с необычными координациями анионов. Обсуждены деформация и поляризация анионов AB[2]{-} под влиянием катиона при различных способах их взаимной ориентации.

Библ. 33.

F: LiAlS₂

P: 3

1998

20Б121. Неэмпирическое исследование изомерии в молекулах солей LiAB[2] с 16 валентными электронами / Чаркин О. П., МакКи М. Л., Шлойер П. Ф. Р. // Ж. неорганической химии. - 1998. - 43, 2. - С. 280-293. - Рус.

В рамках приближений МП2/6-31ГФ{*} // XФ/6-31ГФ{*} + ZPE(XФ/6-31ГФ{*}) и МП4SDTQ/6-31ГФ{*} // МП2/6-31ГФ{*} + ZPE(МП2/6-31ГФ{*}) выполнены неэмпирические расчеты поверхностей потенциальной энергии молекул солей LiAB[2] с анионами BO[2]{-}, BS[2]{-}, AlO[2]{-}, AlS[2]{-}, N[3]{-}, PN[2]{-}, NP[2]{-} и P[3]{-}, а также ионмолек. комплексов LiOP[2]{+} и LiSP[2]{+}. Найдены следующие наиболее выгодные структуры: линейная ил квазилинейная для нитридов LiN[3], LiPN[2] и оксидов LiBO[2], LiAlO[2], бидентатная C_{2v} (типа 'пи'-комплекса)

ФХХ, 1998, 120

для тиосолей LiBS[2] и LiAlS[2], одноконцевая изогнутая C[s] для иона LiSSiS{+}, плоская циклическая C[2v] для LiOP[2]{+} и неплоская циклическая C[s] для LiSP[2]{+}. У молекулы LiP[3] локализованы три низколежащих и близких по энергии изомера: полусэндвичевый триплет C[3v](T), синглетный 'пи'-комплекс C[2v] и синглет C[s] со структурой "полураскрытой бабочки". Определены равновесные геометрические параметры и относительные энергии изомеров, ИК-частоты и интенсивности их нормальных колебаний. Проанализированы тенденции молек. свойств солей

LAB[2] и изоэлектронных ионов LAB[2]{+} при замещении легких атомов L, A и В их аналогами по подгруппам и в других родственных рядах, прогнозируются соединения с необычными координациями анионов. Обсуждены деформация и поляризация анионов AB[2]{-} под влиянием катиона при различных способах их взаимной ориентации. Библ. 33.

LiAl_2
 LiAlSi_2

1998

Charkin O.P. et al.,

ab initio
racem
CNO- μ ,
Li, CNA-
8'upff.

Zh. Neorg. Khim. 1998,
43 (2), 280-293

(cell - LiAl_2 ; III)

ZiAlF, ZiAll, ZiAlH

1998

CMG-PA,
Stenell
succors., Zh. Neorg. Khim. 1998,
Di, neopen.
racem 43(3), 474-487

(all · Zifef;  III)

$\text{d}_{\text{iz}} \text{AlX}_4^+$ 1998
 $X = R, F$ Charkin O.P. et al.,

ab initio Zh. Neorg. Khim. 1998,
panem 43(3), 488-500.

CMP-Mc,
Ti, ZnF₂-
MgO-C
cols.

(all. Li-Belli; III)

LiBH₄

1998

Charkin O.P. et al.,

ab initio

расчет

СМР-МК

и спады.

Zh. Neorg. Khim. 1998,
43 (7), 1184 - 1201.

(ал. LiBH₄; III)

Li Al Cly

1998

Charker O.P. et al.,

ab initio
paciem
cmpl_w-pr
cm at unk.

Gh. Neogi. Khim.
1998, 43(7), 1184-1201

(all.

● LiBffy; III)

Lifffy

1998

Charkin O.P. et al.,

ab initio

pacem

cmp-nr
u cmas.

Zh. Neorg. Khim. 1998,
43(7), 1184-1201

(all. Lifffy; III)

Lilly

1998

Charkin D.P. et al.,

ab initio
pacem
Cmp-pr
Cmafunet.

Zh. Neorg. Khim. 1998,
43 (7), 1184-1201

(acc. Lilly; III)

Lid Ald³ 1998
Charkis D.O. et al.,
nomens.
rolexx, Zh. Neorg. Khim.
converg. 1998, 43(10), 1694-1703
paramet.,
Di

(all · lid CO₃; III)

Liz Alt

1998

Charkin D.O. et al.,

ромеси.
ротерх.
спружн.
напад.
Pi, neop.
pacet

Zh. Neorg. Khim. 1998,
43(12), 2035-49

(all. Liz Alt) III)

1998

HAlLiF
HAlLiCl

Cmp-pr u
uformulas.
One of the two
mechanisms
racem

129: 180371K Quantum chemistry study on the geometries and isomerizations for HAlLiX (X = F, Cl) fragment. Lu, Xuhui; Wang, Yixuan; Deng, Conghao (Chemistry Department, Jinan University, Jinan, Peop. Rep. China 250002). *Huaxue Wuli Xuebao* 1998, 11(3), 233-239 (Ch), Zhongguo Kexue Jishu Daxue Chubanshe. Structures of the fragments HAlLiF and HAlLiCl have been investigated by the ab initio method at the RHF/6-31G* level, generating four equil. geometries for each fragment and three transition states regarding isomerization reactions between the four geometries. The kinetic anal. indicates that both HAlLiF and HAlLiCl exist and take part in chem. reactions in the two basic geometries. The characteristics and stability of the involved equil. geometries are analyzed. The Mulliken populations of the involved geometries and the frontier MOs of the two basic geometries are given. Moreover, the chem. activities of the basic geometries, and effects of the halogen atoms (F, Cl) on the stability and the chem. activities of the basic geometries are discussed.

CA 1998, 129, 114

1999

F: (LiAlS)2

P: 3

131:233791 Ab initio study of isomerism of
nonrigid dimeric (LiAB)2 salt molecules with 20
valence electrons (AB- = BO-, AlO-, BS-, AlS-, CN-,

CP- SiP-). Charkin, O. P.; Klimenko, N. M.; McKee,
M. L.; Schleyer, P. v. R. Inst. Novykh Khim. Probl.,
RAN Chernogolovka, Russia Zh. Neorg. Khim., 44(5),
802-814 (Russian) 1999 The authors studied the
title dimers in the framework of the MP2/6- 31*//HF/6-
31-G* + ZPE(HF/6-31G*) and MP4SDTQ/6-31G*//MP2/6-31-G* +
ZPE(MP 31G*). Data are presented on: potential energy
surfaces, geometries, rel energies, and decompn.
energies of low-energy isomers, their interconvers with
corresponding potential barriers, IR frequencies and
intensities.

F: Li₃AlO₃

P: 3

132:142223 Ab initio study of the structure and stability of molecules an of oxo- and thio-salts with 24 valence electrons Li₃AB₃ (A = B, Al, C+, S O, S). Charkin, D. O.; MacKee, M. L.; Charkin, O. P. Mosk. Gos. Univ. im. M. V. Lomonosova

Moscow, Russia Zh. Neorg. Khim., 44(10), 1707-1716 (Russian) 1999 The authors calcd. potential energy surfaces, lithium oxo- and thio-salts of borates, aluminates, silicates, carbonates of Li₃AB₃ type using MP2/6- 31G*//HF/6-31G* + ZPE(HF/6-31G*) and MP4SDTQ/6-31G*//MP2/6-31G* + ZPE(MP2 31G*) methods. Data are presented on isomer geometry, inversion barriers decompn. energies, electron d., and IR intensity and frequencies.

1999

C-A. 2000, 132

AlLi

(OM-39964)

1999

AlLi -

Betsch F.L. et al.,

CMP-pa J. Chem. Phys., 1999,
cmaswatt. 110, N6, 2928-35

F: LiAlF₄

1999

P: 3

132:142110 Ab initio study of the molecular structure, isomerism, and vibrational spectra of MAF₄ (M = Li, Na, K; A = Al, Ga). Solomonik, V. G. Sliznev, V. V. Ivanovo State Chemical Engineering Academy Russia J. Struct. Chem., 40(3), 368-379

(English) 1999 The equil. geometrical parameters, force consts., vibration frequencies, IR intensities, and isomerization and dissociation energies of MAF₄ mols. are by Hartree-Fock and 2nd-order Moller-Plessett perturbation theory methods Li(9s3p1d/4s3p1d), Na, Al(12s8p1d/6s4p1d), K(14s11p3d/9s8p3d), F(9s5p1d/4s and Ga(13s10p5d/6s5p2d) bases of grouped Gaussian functions. The calcns. that the structures corresponding to the bi- (b) and tridentate (t) coordinations of the M⁺ cation by the AF₄⁻ anion are isomers. The b configuration is energetically most favorable for LiAF₄ mols. The b and structures of NaAF₄

C.A.2000, 132

have close energies, and the t configuration is basic KAF₄ mols. Simple empirical relations between the mol. consts. in the se LiAF₄.fwdarw.NaAF₄.fwdarw.KAF₄ are found and the mol. parameters of RbAF₄ CsAF₄ are estd. A combined anal. of the ab initio and exptl. data availa the literature for MAF₄ mols. is carried out. A no. of bands obsd. in th spectrum of the matrix-isolated MAI₄ mols. are assigned to their trident isomer.

2000

F: Al₇CLi

P: 3

134:257095 Al₇CX (X=Li-Cs) clusters: Stability and the prospect for cluster materials. Ashman, C.; Khanna, S. N.; Pederson, M. R.; Kortus, J. Department of Physics, Virginia Commonwealth University, Richmond, VA, USA. Phys. Rev. B: Condens. Matter Mater. Phys. (2000), 62(24), 16956-16961. in English.

Al₇C clusters, recently found to have a high-electron affinity and exceptional stability, are shown to form ionic mols. when combined with alkali-metal atoms. Our studies, based on an ab initio gradient-cor. d.-functional scheme, show that Al₇CX (X=Li-Cs) clusters have a very low electron affinity and a high ionization potential. When combined, the two- and four-atom composite clusters of Al₇CLi units leave the Al₇C clusters almost intact. Preliminary studies indicate that Al₇CLi may be suitable to form cluster-based materials.

Liz Ald +

OM · 40577

2000

Liz Ald +

Чаркин О.П., Кимчукова Е.М.
и др.)

потерян.

потерян. Ал. Николаев. Кумиц, 2000,
Чернигов, 45, VII, 1859 - 1870.

Киевский музей
Чернигов 8 110

исследование
текущих состоя

Li_2Ab_2 и ионах Li_2Ab_2^+ с 16 аз-
ареновыми фрагментами.

Al_n-1Li

2000

cmuukmypo
u
Kemmerer,
Meier, Janos

133: 168674m Comparative study of Al_{n-1}X (n = 1-9 and 13, X = Li, Al and Sb) clusters: density functional theory based molecular dynamics simulation study. Majumder, C.; Kulshreshtha, S. K. (Novel Materials and Structural Chemistry Division, Bhabha Atomic Research Center, Trombay, Mumbai, 400 085 India). *Chem. Phys. Lett.* 2000, 323(5,6), 393-399 (Eng), Elsevier Science B.V. Equil. geometries and energetics of Al_{n-1}Sb (n = 1-9 and 13) clusters have been calcd. and the results are compared with those obtained for Al_{n-1}Li and Al_n clusters. Addn. of the Li atom to the Al_{n-1} cluster does not affect its geometry and it caps one of its triangular faces. The geometries of Al_{n-1}Sb clusters are similar to those of Al_n clusters. Both Al₁₂Sb and Al₁₂Li have icosahedral geometry with Li and Sb atoms placed at the vertex and central positions, resp. The av. binding energy for Al_{n-1}Sb clusters is more than that of Al_{n-1}Li and Al_n clusters. The dissociation energy for Sb in Al_{n-1}Sb is more than that of the Al and Li atom in Al_n and Al_{n-1}Li clusters, resp.

(72)

D



C.A. 2000, 133, N12

$\text{Al}_n X$

$n = 12, 13, 14$

$\text{Al}_n \text{Li}$

2000

134: 136884j Alkalization of aluminum clusters: Every electron counts. Rao, B. K.; Khanna, S. N.; Jena, P. (Department of Physics, Virginia Commonwealth University, Richmond, VA 23284-2000 USA). *Clusters Nanostruct. Interfaces, [Proc. Int. Symp.]* 1999 (Pub. 2000), 317-326 (Eng). Edited by Jena, Puru; Khanna, Shiv N.; Rao, Bijan K. World Scientific Publishing Co. Pte. Ltd.: Singapore, Singapore. The electronic structure of aluminum clusters interacting with alkali atoms has been systematically studied by using the MO theory within the framework of the d. functional formalism and generalized gradient approxn. The calcns. were carried out using both all-electron and frozen-core approxn. Geometry of $\text{Al}_n \text{X}$ ($n = 12-14$ and $\text{X} = \text{Li}, \text{Na}, \text{and K}$) clusters were obtained by a global optimization procedure. Two nearly degenerate isomers of Al_{13}X belonging to capped icosahedron and decahedron

CNP - RA,
MOF. placed

(+2)



Al_n



Na ,

$\text{Al}_n \text{K}$

C-8.2001, 134, NO. 110. Al_n

structures were identified. The studies reveal a special chem. of the Al_{13}X species, namely the Al_{13} cluster and the alkali(X) atoms are bound ionically. The transfer of the electron from the alkali atom to Al_{13} makes Al_{13} an electronically closed shell system with an anomalously small electron affinity compared to Al_{12}X and Al_{14}X species. The ionic bond between two metallic elements not only illustrates the special chem. of the clusters, but also may be useful in the designing of clusters suitable for the synthesis of cluster assembled materials. The relative stability of these clusters and their ionization potentials are compared with available exptl. data.